

Mawsons Tochterunternehmen SXG bohrt 2.318 g/t Gold auf 1,0 m im besten Bohrloch bei Sunday Creek

Innerhalb des breiteren Intervalls 455,3 m @ 7,2 g/t Au (ungeschnitten) Durchquerung von 12 hochgradigen Adersätzen

Höchster jemals gefundener Goldgehalt: 7.330 g/t Au über 0,3 m

Nachweis der Kontinuität zwischen extrem hochgradigen Goldabschnitten

Vancouver, Kanada - Mawson Gold Limited ("Mawson" oder das "Unternehmen") (TSXV:MAW) (Frankfurt:MXR) (PINKSHEETS: MWSNF) - <https://www.commodity-tv.com/ondemand/companies/profil/mawson-gold-ltd/> - gibt bekannt, dass Southern Cross Gold Ltd. ("Southern Cross Gold" oder "SXG") die Ergebnisse von SDDSC107 vom Grundstück Rising Sun veröffentlicht, inkl. dem bisher besten Bohrloch bei Sunday Creek, das einen spektakulär langen und hochgradigen Abschnitt mit einer Gold-Antimon-Mineralisierung ergab, einschließlich **1,0 m mit 2.318 g/t Au, gebohrt innerhalb von 455,3 m mit 7,2 g/t Au auf 413,6 m** (ungeschnitten) auf dem zu 100 % unternehmenseigenen Projekt Sunday Creek in Victoria, Australien (Abbildungen 1 - 5).

Höhepunkte:

- SDDSC107, das bei Rising Sun gebohrt wurde, durchschnitt den **höchsten Goldgehalt** und den **besten Abschnitt**, der bisher bei Sunday Creek gebohrt wurde:
 - **0,3 m @ 7.330 g/t Au innerhalb von 1,0 m @ 2.318 g/t Au (geschätzte tatsächliche Breite ("ETW") 0,7 m)** aus 684,3 m
 - Innerhalb eines breiteren Abschnitts, der 12 hochgradige Adersätze mit **455,3 m @ 7,2 g/t Au (ungeschnitten)** aus 335,0 m durchquert.
- SDDSC107 enthält **10 untersuchte Abschnitte > 50 g/t Au (bis zu 7.330 g/t Au) und 13 Abschnitte > 5 % Sb (bis zu 25,9 % Sb)**. Insgesamt ergab das Bohrloch **3.424 AuEq g/t x m**.
- SDDSC107 enthielt **vier Abschnitte mit >100 AuEq g/t x m**:
 - **15,0 m @ 15,2 g/t AuEq** (9,3 g/t Au, 3,7% Sb) aus 546,8 m
 - **9,1 m @ 40,0 g/t AuEq** (39,1 g/t Au, 0,6 % Sb) aus 566,9 m
 - **1,0 m @ 2.318,8 g/t AuEq** (2.318,4 g/t Au, 0,3% Sb) aus 684,3 m
 - **7,6 m @ 13,5 g/t AuEq** (13,3 g/t Au, 0,2 % Sb) aus 782,7 m
- Das Bohrloch wurde niedergebracht, um die Streichenausdehnung und die Kontinuität von 12 hochgradigen Aderstrukturen 20 m entlang des Streichens und neigungsabwärts von SDDSC077B (404,4 m @ 5,6 g/t AuEq (ungeschnitten)) zu erproben (Abbildungen 3, 4, 5).
- Der höchstgradige Abschnitt **1,0 m @ 2.318 g/t Au** in SDDSC107 befindet sich 17 m neigungsabwärts von SDDSC092 (3,3 m @ 267,8 g/t Au, einschließlich 0,4 m @ 1.610 g/t Au) innerhalb des Adersatzes RS80,
 - Liefert einen der ersten Beweise für die Kontinuität zwischen extrem hochgradigen (> 1.000 g/t Au) Abschnitten bei Sunday Creek (Abbildung 3).
- Sieben Bohrlöcher bei Sunday Creek werden derzeit bearbeitet und analysiert; drei Bohrlöcher sind in Arbeit.

- **SXG wird Bohrkerne auf der PDAC in Toronto 2024** an Stand 3110B am Dienstag, 5. März 2024, zwischen 10:00 und 17:00 Uhr ET und am Mittwoch, 6. März 2024, zwischen 9:00 und 12:00 Uhr ET präsentieren.
- Mawson besitzt 93.750.000 Aktien von SXG (51 %), was einem Wert von 121,9 Mio. AUD (107,7 Mio. C\$) entspricht, basierend auf dem Schlusskurs von SXG am 1. März 2024 AEST.

Michael Hudson, Mawson Interim CEO und Executive Chairman, erklärt: "Sunday Creek hat wieder einen der Hits des Jahres geliefert und die Wiedergeburt der viktorianischen Goldfelder geht weiter. Es handelt sich um eine außergewöhnliche globale Entdeckung, bei der Bohrloch um Bohrloch frühere außergewöhnliche Bohrergebnisse übertrifft. Hier hat Bohrloch SDDSC107 von Rising Sun mit **1,0 m @ 2.318 g/t Au, einschließlich 0,3 m @ 7.330 g/t Au, die innerhalb eines breiteren Abschnitts von 455,3 m @ 7,2 g/t Au (ungeschnitten) gebohrt wurden**, den hochgradigsten und besten Abschnitt des Projekts durchschnitten.

"Wichtig ist, dass wir zum ersten Mal die Kontinuität der extrem hohen Gehalte nachweisen konnten, da SDDSC107 seine besten Gehalte 17 m neigungsabwärts von SDDSC092 durchteufte, das 3,3 m mit 267,8 g/t Au, einschließlich 0,4 m mit 1.610 g/t Au in der Ader RS80, durchteufte (Abbildung 3). Dies bietet eine verlockende Gelegenheit, sich nun auf diese extrem hochgradigen Zonen in kleinen, aber reichhaltigen Gebieten mit engeren Bohrabständen (einschließlich Verkeilung) zu konzentrieren, um rasch Unzen über unsere anfänglichen Explorationszielerwartungen hinaus aufzubauen, während wir auch weiterhin den Fußabdruck des mineralisierten Systems erweitern.

"Mit vier Bohrgeräten in Betrieb und zehn Bohrungen, die bearbeitet werden oder in Arbeit sind, freuen wir uns auf einen kontinuierlichen Nachrichtenfluss."

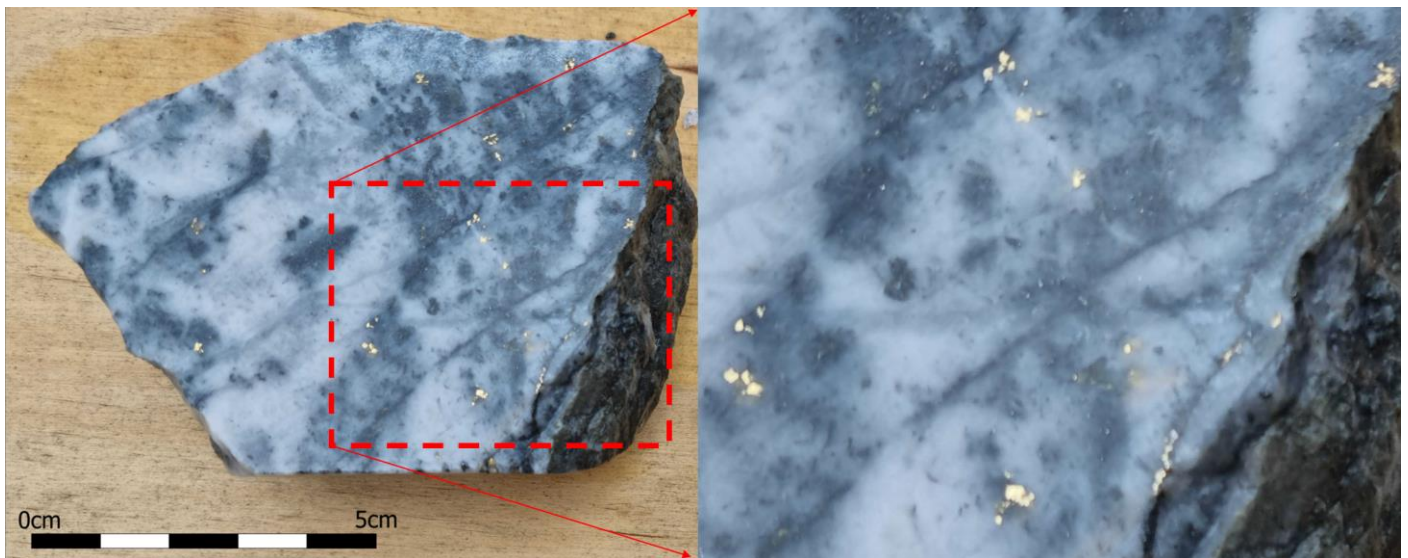


Bild 1: Quarzkarbonat-Ader mit gebänderten Sulfiden und sichtbarem Gold, das entlang von Brüchen verteilt ist. Intervall mit einem Gehalt von 0,3 m @ 7.331g/t Au aus 684,7 m

Diskussion über Bohrlöcher

SDDSC107 enthält **10 untersuchte Abschnitte mit mehr als 50 g/t Au (bis zu 7.330 g/t Au), 21 Abschnitte mit mehr als 15 g/t Au und 13 Abschnitte mit mehr als 5 % Sb (bis zu 25,9 % Sb)** und beherbergt die höchsten Gehalte (bis zu 7330 g/t Au) und den besten Abschnitt, der bis dato bei Sunday Creek gebohrt wurde, einschließlich vier Abschnitten mit mehr als 100 AuEq g/t x m von Sunday Creek. Insgesamt ergab das Bohrloch 3.424 AuEq g/t x m.

SDDSC107 wurde konzipiert, um die Streichenausdehnung und die Kontinuität der hochgradigen Adersätze 20 m entlang des Streichens (und neigungsabwärts) von SDDSC077B (404,4 m @ 5,6 g/t AuEq (ungeschnitten)) zu erproben. Das Bohrloch durchteufte erfolgreich 12 Adersätze auf einer Tiefe von 470 m. Abbildung 5 zeigt die Beziehung zwischen SDDSC107, SDDSC077B und den umliegenden Bohrlöchern in der gleichen Einfallsebene entlang der Spur des Bohrlochs (+/- 415 m Fenster um die Bohrlöcher). Längsschnitte von zwei Adersätzen (von

den 45 Adersätzen, die bis dato bei Sunday Creek definiert wurden) sind ebenfalls in den Abbildungen 3 und 4 dargestellt und werden im Folgenden beschrieben:

Aderset RS80

SDDSC107 enthielt die **höchsten Gehalte und den besten Abschnitt**, der bei Sunday Creek gebohrt wurde (**1,0 m @ 2318 g/t Au, einschließlich 0,3 m @ 7330 g/t Au**). Dieser Abschnitt befand sich 17 m neigungsabwärts von SDDSC092 (3,3 m @ 267,8 g/t Au, einschließlich 0,4 m @ 1610 g/t Au) im Aderset RS80 (Abbildung 3). Dies ist der bisher beste Beweis für die Kontinuität zwischen extrem hochgradigen Abschnitten bei Sunday Creek, die durch Bohrungen in engeren Abständen definiert wurden. Die höchsten Gehalte in der Ader RS80 scheinen sich derzeit am Kontakt des Deichfußes mit alterierten Sedimenten zu bilden.

Dieser Kontakt bleibt 40 m neigungsaufwärts und 33 m neigungsabwärts in Richtung des Bohrlochs SDDSC050 offen, das 2,5 m mit 16,4 g/t AuEq durchteufte (ETW 1,7 m). Die Ader ist in der Tiefe offen und durch begrenzte Bohrungen entlang des Streichens nur wenig eingeschränkt. Die Bebohrung dieser sehr hochgradigen Strukturen in engen Abständen (15 m bis 25 m) erhöht unser Vertrauen in die Kontinuität der extrem hohen Gehalte bei Sunday Creek. Die Morphologie der Adern und der Gehalt deuten darauf hin, dass derselbe Adersatz in einem Bereich von 170 m Neigung nach oben/unten und bis zu 60 m Streichen durchteuft wurde. Mehrere Bohrlöcher, die derzeit in Arbeit sind oder noch auf die Analyse warten (SDDSC113, 114, 115A, 117), werden die sich abzeichnenden Möglichkeiten im Aderset RS80 weiter ausbauen.

Venensatz RS50

SDDSC107 durchteufte auch den Gang RS50 in der Fußwand des Dykes und im Kontakt mit alteriertem Sediment und durchteufte **15,0 m mit 15,2 g/t AuEq (ETW 6,6 m) auf 546,8 m** (Abbildung 4). Die Ader RS50 wurde über 560 m neigungsaufwärts und neigungsabwärts verfolgt und ist in der Tiefe weiterhin offen. Die Möglichkeit, sich auf die höchstgradigen Teile des Sunday Creek Systems zu konzentrieren, ist auch im Aderset RS50 offensichtlich.

Zu den erweiterten Highlights des **SDDSC107** gehören:

- **3,0 m @ 6,2 g/t AuEq** (5,7 g/t Au, 0,3 % Sb) aus 348,7 m, einschließlich:
 - **1,0 m @ 13,7 g/t AuEq** (13,6 g/t Au, 0,1% Sb) aus 349,6 m
- **1,0 m @ 6,6 g/t AuEq** (6,6 g/t Au, 0,0% Sb) aus 380,0 m
- **0,2 m @ 11,0 g/t AuEq** (0,8 g/t Au, 6,4% Sb) aus 416,9 m
- **1,0 m @ 31,3 g/t AuEq** (14,7 g/t Au, 10,5% Sb) aus 425,0 m
- **0,3 m @ 9,0 g/t AuEq** (8,6 g/t Au, 0,2 % Sb) aus 446,8 m
- **2,9 m @ 22,4 g/t AuEq** (17,5 g/t Au, 3,1 % Sb) aus 491,6 m, einschließlich:
 - **2,3 m @ 27,3 g/t AuEq** (21,8 g/t Au, 3,5% Sb) aus 492,2 m
- **3,1 m @ 21,6 g/t AuEq** (19,7 g/t Au, 1,2 % Sb) aus 497,0 m, einschließlich:
 - **0,3 m @ 213,1 g/t AuEq** (198,0 g/t Au, 9,6 % Sb) aus 497,0 m
- **0,5 m @ 6,9 g/t AuEq** (4,5 g/t Au, 1,5% Sb) aus 526,2 m
- **15,0 m @ 15,2 g/t AuEq** (9,3 g/t Au, 3,7 % Sb) aus 546,8 m, einschließlich:
 - **4,4 m @ 33,4 g/t AuEq** (19,0 g/t Au, 9,1% Sb) aus 549,3 m
 - **1,7 m @ 35,7 g/t AuEq** (25,1 g/t Au, 6,7% Sb) aus 557,5 m
- **9,1 m @ 40,0 g/t AuEq** (39,1 g/t Au, 0,6 % Sb) aus 566,9 m, einschließlich:
 - **0,3 m @ 1.402,1 g/t AuEq** (1.400,0 g/t Au, 1,3% Sb) aus 572,9 m
- **0,3 m @ 32,4 g/t AuEq** (31,5 g/t Au, 0,6 % Sb) aus 585,1 m
- **1,8 m @ 19,5 g/t AuEq** (16,4 g/t Au, 1,9 % Sb) aus 588,3 m, einschließlich:
 - **1,4 m @ 25,1 g/t AuEq** (21,2 g/t Au, 2,4% Sb) aus 588,3 m
- **1,0 m @ 2.318,8 g/t AuEq** (2.318,4 g/t Au, 0,3 % Sb) aus 684,3 m, einschließlich:
- **0,7 m @ 3.511,7 g/t AuEq** (3.511,0 g/t Au, 0,4% Sb) aus 684,3 m (einschließlich **0,3 m @ 7.330 g/t Au**)
- **0,5 m @ 7,0 g/t AuEq** (5,6 g/t Au, 0,9% Sb) aus 695,0 m

- **0,9 m @ 5,7 g/t AuEq** (5,6 g/t Au, 0,0% Sb) aus 702,2 m
- **2,7 m @ 14,7 g/t AuEq** (10,9 g/t Au, 2,4 % Sb) aus 723,0 m, einschließlich:
 - **0,3 m @ 57,6 g/t AuEq** (26,9 g/t Au, 19,4% Sb) aus 723,0 m
 - **0,4 m @ 48,6 g/t AuEq** (46,3 g/t Au, 1,5% Sb) aus 724,7 m
- **0,5 m @ 7,1 g/t AuEq** (7,0 g/t Au, 0,1% Sb) aus 731,0 m
- **7,6 m @ 13,5 g/t AuEq** (13,3 g/t Au, 0,2 % Sb) aus 782,7 m, einschließlich:
 - **0,3 m @ 18,2 g/t AuEq** (18,2 g/t Au, 0,0% Sb) aus 782,7 m
 - **2,4 m @ 39,0 g/t AuEq** (38,4 g/t Au, 0,3 % Sb) aus 784,4 m

Ausstehende Ergebnisse und Aktualisierung

Sieben Bohrlöcher (SDDSC110-112, 112W1, 113, 114, 115A) werden derzeit bearbeitet und analysiert, drei Bohrlöcher (SDDSC116, 117, 118) sind in Arbeit (Abbildungen 1 und 2).

SXG präsentiert Core auf der PDAC 2024 Core Shack

SXG wurde vom technischen Komitee der PDAC 2024 ausgewählt, seinen Kern in der diesjährigen Kernbude" auf der Messe in Toronto, Kanada, auszustellen.

Explorationsmanager Kenneth Bush wird am Dienstag, dem 5. März 2024, zwischen 10:00 und 17:00 Uhr ET und am Mittwoch, dem 6. März 2024, zwischen 9:00 und 12:00 Uhr ET am Stand 3110B anwesend sein und eine Auswahl von Bohrkernen der Bohrlöcher SDDSC082, SDDSC091 und SDDSC107 von Sunday Creek präsentieren. Mitarbeiter von Southern Cross Gold werden von Sonntag, dem 03. März, bis Mittwoch, dem 06. März, auch am Stand 2939 von Mawson zu finden sein.

Weitere Informationen

Weitere Informationen und Analysen zum Projekt Sunday Creek von Southern Cross Gold finden Sie auf der Website von SXG unter www.southerncrossgold.com.au.

Bei der Mittelwertbildung wird kein oberer Goldgrenzwert angewandt und die Abschnitte werden als Bohrmächtigkeit angegeben. Während zukünftiger Mineralressourcenstudien wird das Erfordernis eines oberen Abschneidens der Proben bewertet werden.

Die Abbildungen 1 bis 7 zeigen die Lage des Projekts sowie Grundriss-, Längs- und Querschnittsansichten der hier gemeldeten Bohrerergebnisse; die Tabellen 1 bis 3 enthalten die Daten der Bohrlöcher und der Proben. Die tatsächliche Mächtigkeit der mineralisierten Abschnitte wird einzeln als geschätzte tatsächliche Mächtigkeit ("ETW") gemeldet; andernfalls wird davon ausgegangen, dass sie etwa 60 % bis 70 % der beprobten Mächtigkeit für andere gemeldete Bohrlöcher beträgt. Niedrigere Gehalte wurden mit einem unteren Cutoff-Gehalt von 1,0 g/t AuEq über eine maximale Breite von 2 m und höhere Gehalte mit einem unteren Cutoff-Gehalt von 5,0 g/t Au über eine maximale Breite von 1 m geschnitten.

Technischer Hintergrund und qualifizierte Person

Die qualifizierte Person, Michael Hudson, Executive Chairman und Director von Mawson Gold sowie Fellow des Australasian Institute of Mining and Metallurgy, hat den technischen Inhalt dieser Pressemitteilung geprüft, verifiziert und genehmigt.

Die Analyseproben werden zur Einrichtung von On Site Laboratory Services ("On Site") in Bendigo transportiert, die sowohl nach ISO 9001 als auch nach dem NATA-Qualitätssystem arbeitet. Die Proben wurden aufbereitet und mit Hilfe der Brandprobe (PE01S-Methode; 25-Gramm-Charge) auf Gold analysiert, gefolgt von der Messung des Goldes in Lösung mit einem Flammen-AAS-Gerät. Die Proben für die Multielementanalyse (BM011- und Over-Range-Methoden nach Bedarf) werden mit Königswasser aufgeschlossen und mit ICP-MS analysiert. Das QA/QC-Programm von Southern Cross Gold besteht aus dem systematischen Einsetzen von zertifizierten Standards mit bekanntem Goldgehalt, Leerproben innerhalb des interpretierten mineralisierten Gesteins und Viertelkernduplikaten. Darüber hinaus werden vor Ort Leerproben und Standards in den Analyseprozess eingefügt.

MAW ist der Ansicht, dass sowohl Gold als auch Antimon, die in der Goldäquivalentberechnung ("AuEq") enthalten sind, angesichts des aktuellen geochemischen Verständnisses, der historischen Produktionsstatistiken und der geologisch vergleichbaren Bergbaubetriebe ein angemessenes Potenzial für die Gewinnung von Sunday Creek haben. In der Vergangenheit wurde das Erz von Sunday Creek während

des Ersten Weltkriegs vor Ort aufbereitet oder zur Costerfield-Mine, die 54 km nordwestlich des Projekts liegt, zur Aufbereitung transportiert. Der Costerfield-Minenkorridor, der sich nun im Besitz von Mandalay Resources Ltd. befindetet, enthält zwei Millionen Unzen Goldäquivalent (Mandalay Q3 2021 Results) und war im Jahr 2020 die sechsthöchste Untertagemine der Welt und ein Top-5-Produzent von Antimon weltweit.

SXG ist der Ansicht, dass es angemessen ist, dieselben Goldäquivalenzvariablen wie Mandalay Resources Ltd. in seinem technischen Bericht Mandalay 2022 vom 25. März 2022 zu verwenden. Die von Mandalay Resources verwendete Goldäquivalenzformel wurde anhand der in der Aufbereitungsanlage auf dem Grundstück Costerfield in Brunswick im Jahr 2020 erzielten Ausbeuten berechnet, wobei ein Goldpreis von 1.700 US\$ pro Unze, ein Antimonpreis von 8.500 US\$ pro Tonne und Metallausbeuten für das gesamte Jahr 2021 von 93 % für Gold und 95 % für Antimon zugrunde gelegt wurden, und lautet wie folgt:

$$AuEq = Au (g/t) + 1,58 \times Sb (\%)$$

Basierend auf der jüngsten Costerfield-Berechnung und angesichts der ähnlichen geologischen Stile und der historischen Behandlung der Sunday Creek-Mineralisierung bei Costerfield ist SXG der Ansicht, dass ein **$AuEq = Au (g/t) + 1,58 \times Sb (\%)$** für die anfänglichen Explorationsziele der Gold-Antimon-Mineralisierung bei Sunday Creek angemessen ist.

Über Mawson Gold Limited (TSXV:MAW, FRANKFURT:MXR, OTCPINK:MWSNF)

[Mawson Gold Limited](#) hat sich als ein führendes nordisches Explorationsunternehmen profiliert. In den letzten Jahrzehnten hat das Team hinter Mawson eine lange und erfolgreiche Bilanz bei der Entdeckung, Finanzierung und Weiterentwicklung von Mineralienprojekten in den nordischen Ländern und Australien vorzuweisen. Mawson besitzt die Goldentdeckung Skellefteå North und ein Portfolio an historischen Uranressourcen in Schweden. Mawson hält auch 51% der Southern Cross Gold Ltd. (ASX: SXG), das drei hochgradige, historische epizonale Goldfelder mit einer Länge von 470 km² in Victoria, Australien, besitzt oder kontrolliert, einschließlich der spannenden Sunday Creek Au-Sb Entdeckung.

Über Southern Cross Gold Ltd (ASX: SXG)

[Southern Cross Gold](#) besitzt das zu 100 % im Besitz befindliche Sunday Creek Projekt in Victoria und das Mt Isa Projekt in Queensland, die Redcastle und Whroo Joint Ventures in Victoria, Australien, sowie eine strategische 10 %ige Beteiligung an der an der ASX notierten Nagambie Resources Limited (ASX: NAG), die SXG ein Vorkaufsrecht auf ein 3.300 Quadratkilometer großes Grundstückspaket im Besitz von NAG in Victoria gewährt.

Im Namen des Verwaltungsrats,

"Michael Hudson"

Michael Hudson, Interims-CEO und
geschäftsführender Vorsitzender

Weitere Informationen

www.mawsongold.com

1305 - 1090 West Georgia St., Vancouver, BC, V6E 3V7
Mariana Bermudez (Kanada), Unternehmenssekretärin
+1 (604) 685 9316 info@mawsongold.com

In Europa:

Swiss Resource Capital AG
Jochen Staiger & Marc Ollinger
info@resource-capital.ch
www.resource-capital.ch

Zukunftsgerichtete Aussage

Diese Pressemitteilung enthält zukunftsgerichtete Aussagen oder zukunftsgerichtete Informationen im Sinne der geltenden Wertpapiergesetze (zusammenfassend als "zukunftsgerichtete Aussagen" bezeichnet). Alle hierin enthaltenen Aussagen, mit Ausnahme von Aussagen über historische Fakten, sind zukunftsgerichtete Aussagen. Obwohl Mawson der Ansicht ist, dass solche Aussagen angemessen sind, kann Mawson keine Garantie dafür geben, dass sich diese Erwartungen als richtig erweisen werden. Zukunftsgerichtete Aussagen sind in der Regel durch Wörter wie glauben, erwarten, vorhersehen, beabsichtigen, schätzen, postulieren und ähnliche Ausdrücke gekennzeichnet oder beziehen sich auf zukünftige Ereignisse. Mawson weist Investoren darauf hin, dass zukunftsgerichtete Aussagen keine Garantie für zukünftige Ergebnisse oder Leistungen sind und dass die tatsächlichen Ergebnisse aufgrund verschiedener Faktoren erheblich von jenen in zukunftsgerichteten Aussagen abweichen können, einschließlich der Erwartungen von Mawson hinsichtlich seiner Beteiligung an Southern Cross Gold, Kapital- und andere Kosten, die erheblich von den Schätzungen abweichen, Veränderungen auf den Weltmetallmärkten, Veränderungen auf den Aktienmärkten, die potenziellen Auswirkungen von Epidemien, Pandemien oder anderen Krisen im Bereich der öffentlichen Gesundheit, einschließlich COVID-19, auf das Geschäft des Unternehmens, Risiken im Zusammenhang mit negativer Publicity in Bezug auf das Unternehmen oder die Bergbauindustrie im Allgemeinen; Explorationspotenzial, das konzeptioneller Natur ist, unzureichende Exploration, um eine Mineralressource auf den australischen Projekten im Besitz von SXG zu definieren, und Ungewissheit, ob weitere Explorationen zur Bestimmung einer Mineralressource führen werden; geplante Bohrprogramme und Ergebnisse, die von den Erwartungen abweichen,

Verzögerungen beim Erhalt von Ergebnissen, Ausrüstungsausfälle, unerwartete geologische Bedingungen, die Beziehungen zu den lokalen Gemeinden, der Umgang mit Nichtregierungsorganisationen, Verzögerungen bei der Erteilung von Genehmigungen, Umwelt- und Sicherheitsrisiken sowie andere Risiken und Ungewissheiten, die unter der Überschrift "Risikofaktoren" in Mawsons jüngstem Jahresbericht auf [SEDAR](#) veröffentlicht wurden. Jede zukunftsgerichtete Aussage bezieht sich nur auf das Datum, an dem sie getätigt wird, und Mawson lehnt jede Absicht oder Verpflichtung ab, zukunftsgerichtete Aussagen zu aktualisieren, sei es aufgrund neuer Informationen, zukünftiger Ereignisse oder Ergebnisse oder aus anderen Gründen.

Abbildung 1: Grundriss von Sunday Creek mit dem hier gemeldeten Bohrloch SDDSC107 (grauer Kasten, blau hervorgehoben), ausgewählten früher gemeldeten Bohrlöchern und noch nicht abgeschlossenen Bohrungen. Für den Standort siehe Abbildung 4.

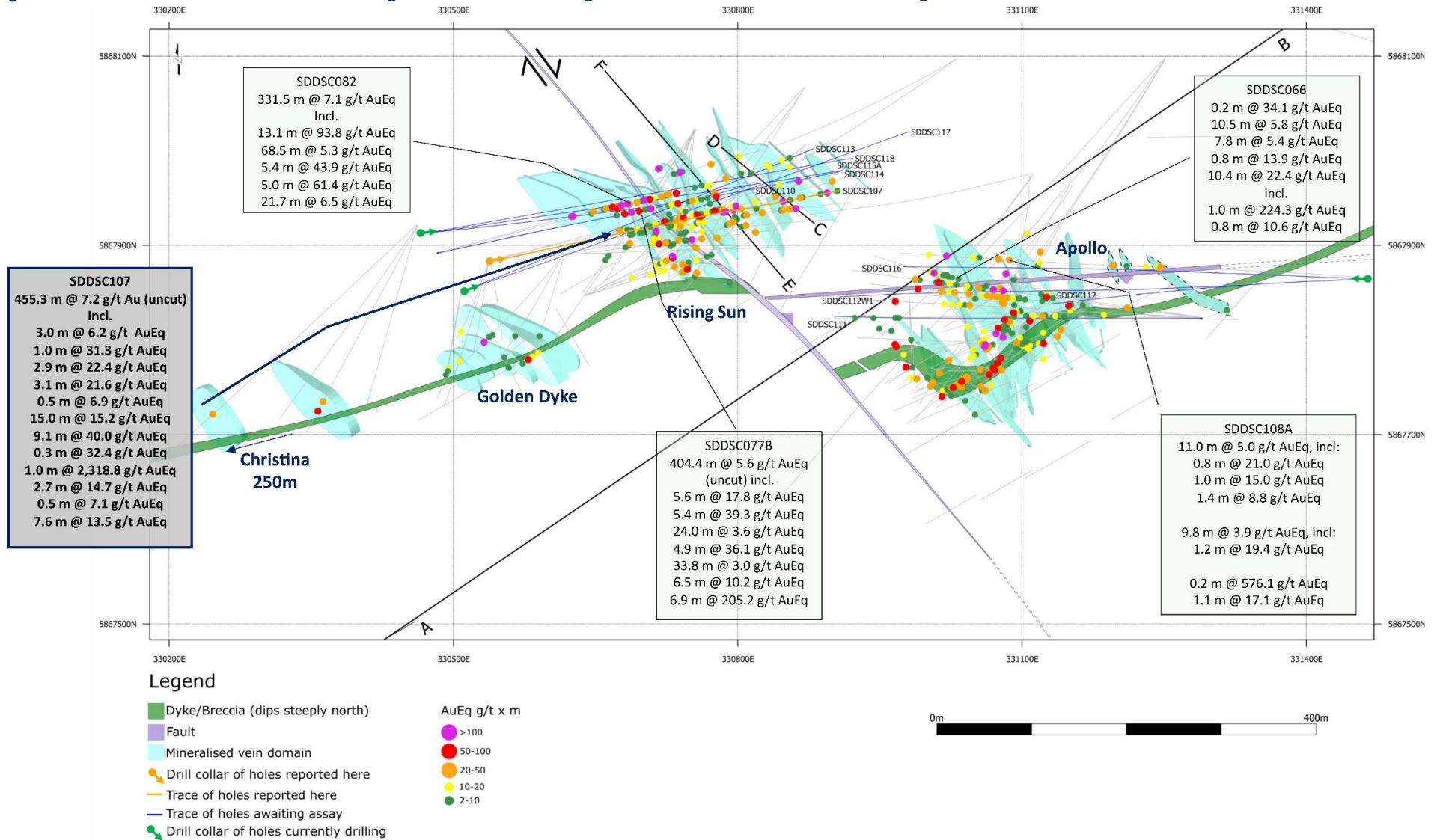


Abbildung 2: Sunday Creek-Längsschnitt durch A-B in der Ebene der Dyke-Brekzie/alterierten Sedimente (siehe Abbildung 1) mit Blick in Richtung Norden (Streichung 236 Grad), der mineralisierte Adersätze zeigt. Zeigt SDDSC107, über das hier berichtet wird, und die zuvor gemeldeten Bohrlöcher.

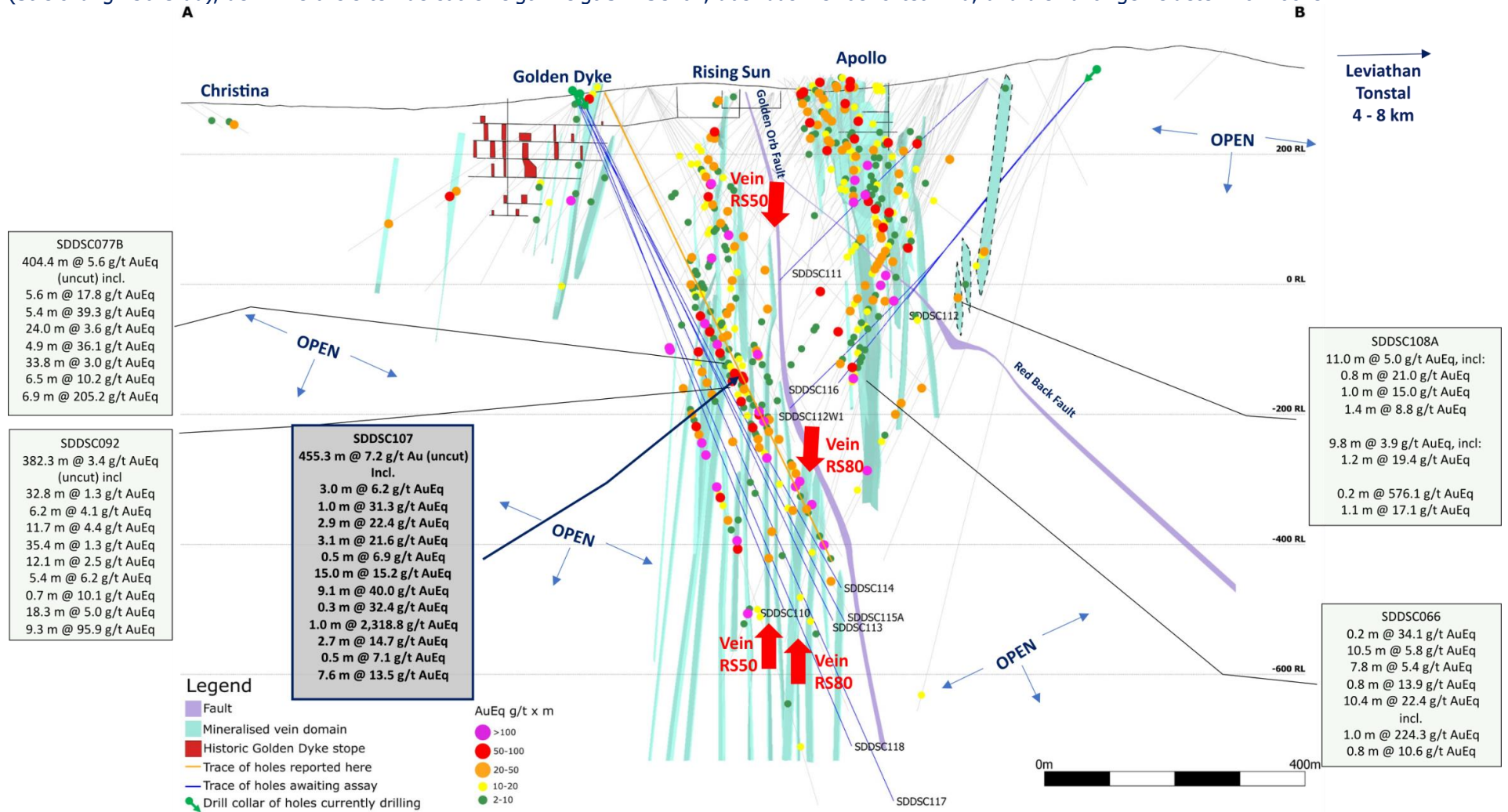


Abbildung 3: Sunday Creek-Längsschnitt durch C-D in der Ebene des modellierten Adersatzes RS80, Blick in Richtung Südwesten (Streichung 129 Grad). Zeigt SDDSC107 (orangefarbene Spur), über die hier berichtet wird, und die zuvor gemeldeten Bohrlöcher.

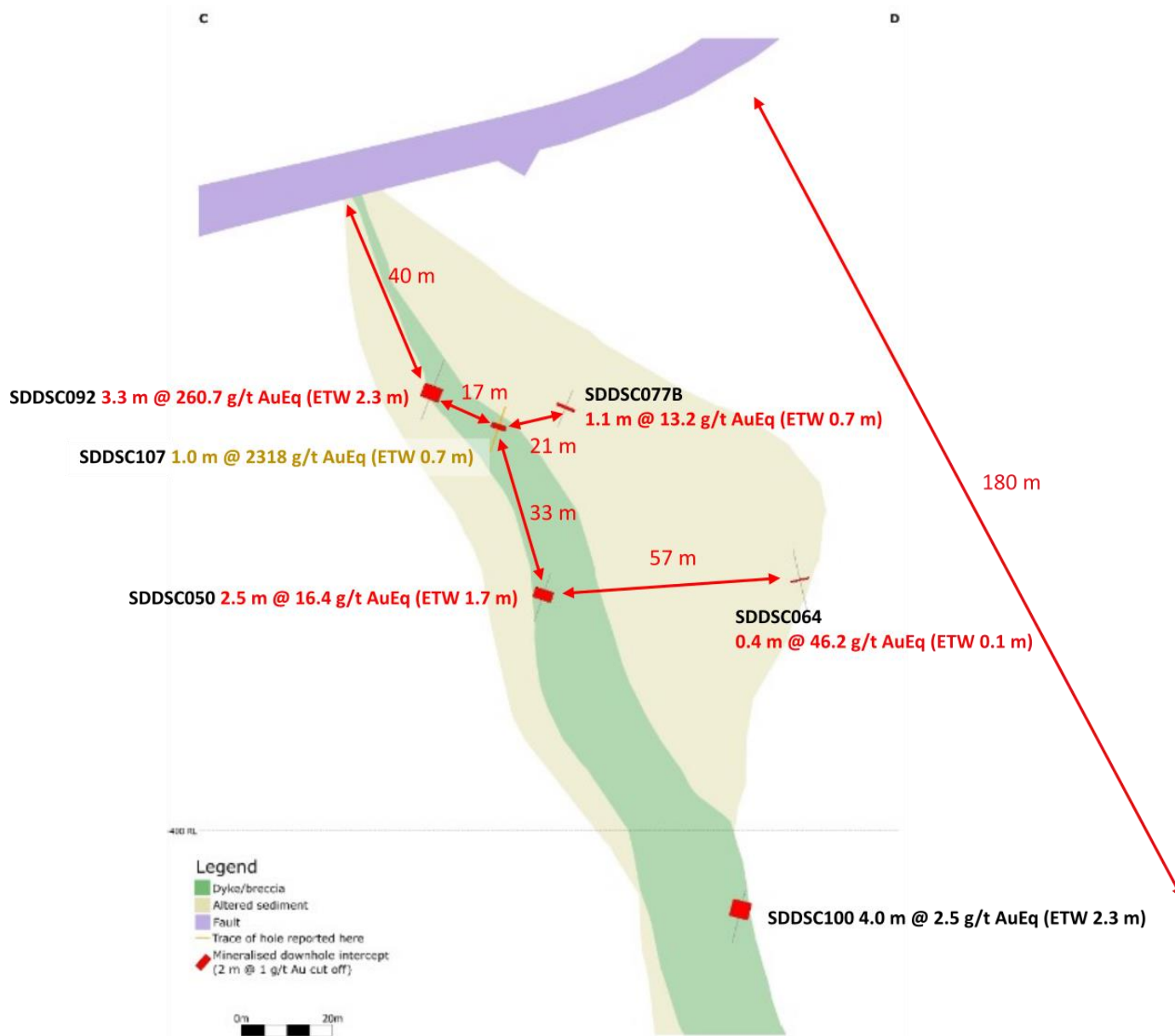


Abbildung 4: Sunday Creek-Längsschnitt durch E-F in der Ebene des modellierten Adersatzes RS50, Blick in Richtung Südwesten (Streichung 139 Grad). Zeigt SDDSC107 (orangefarbene Spur), über die hier berichtet wird, und die zuvor gemeldeten Bohrlöcher.

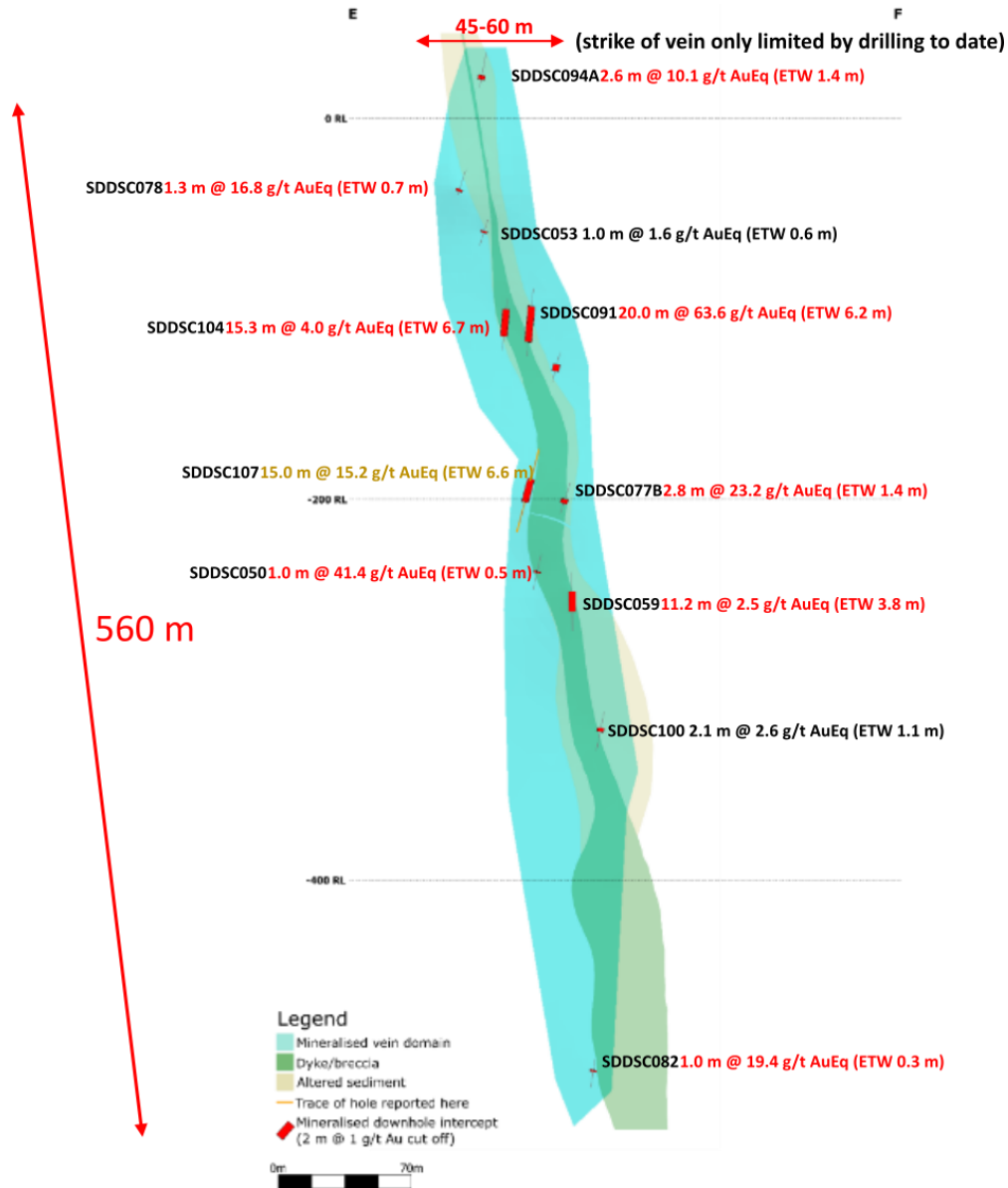


Abbildung 5: Unbeschränkte Draufsicht auf Sunday Creek mit den Untersuchungsergebnissen von SDDSC107 und SDDSC077B sowie weiteren Abschnitten (SDDSC050, 092). Die Adern (blau), die Oberfläche der hängenden Wand des Deiches im Verhältnis zu SDDSC077B und SDSSC107 (grün) und die mineralisierte Zone der hängenden Wand (von der hängenden Wand des Deiches bis zur gestrichelten roten Linie). Der Abstand zwischen SDDSC077B und SDSSC107 ist entlang ihrer Spuren dargestellt. Die RL am Anfang und Ende der Bohrung ist vermerkt. Zur Orientierung: Die Oberfläche liegt bei etwa 300 m RL. Bemerkenswert ist die Kontinuität der mineralisierten Strukturen in der hängenden Wand des Deiches zwischen SDDSC077B und SDSSC107. Die Wirtsstruktur fällt steil nach Norden ab, die Adern fallen steil ab.

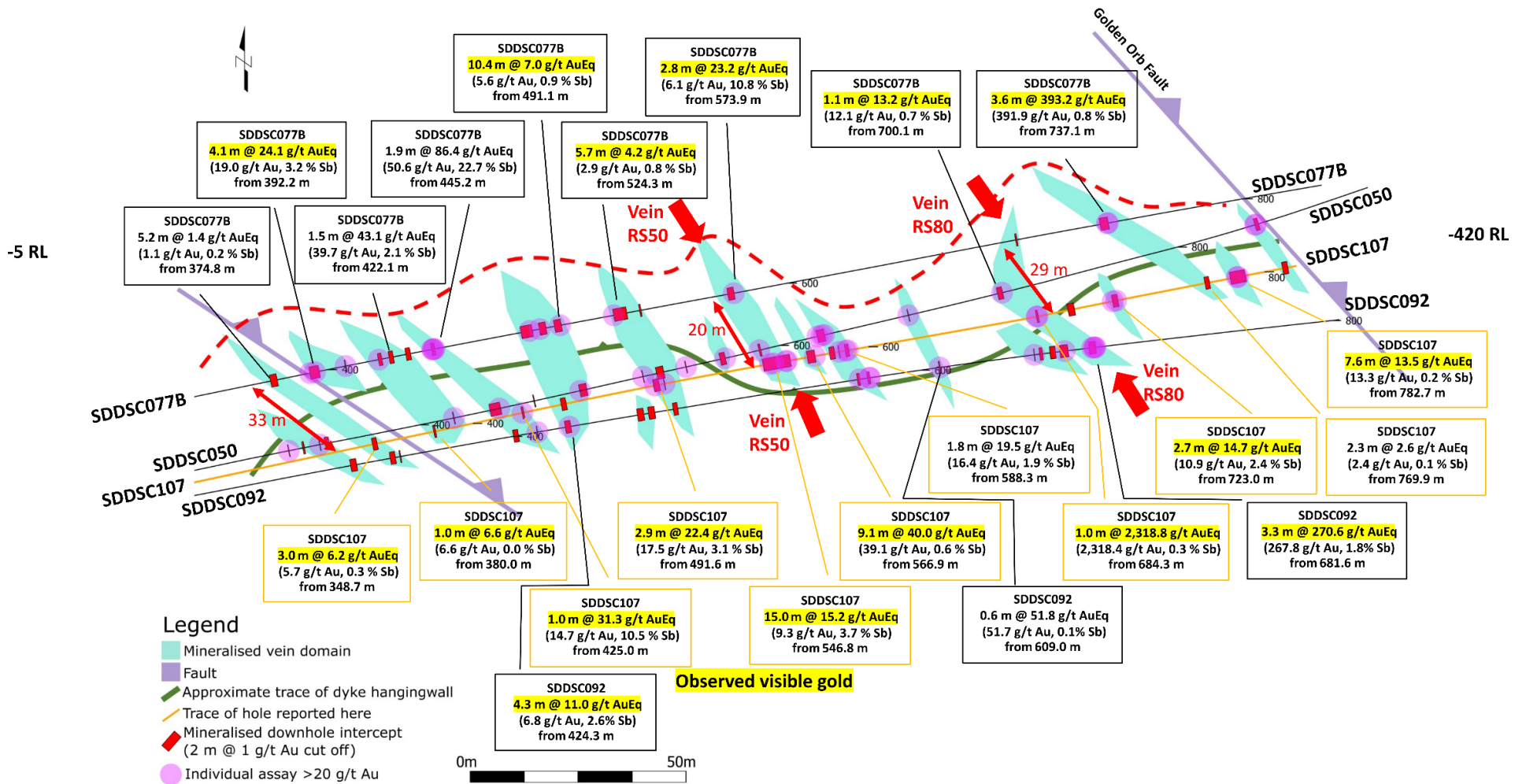
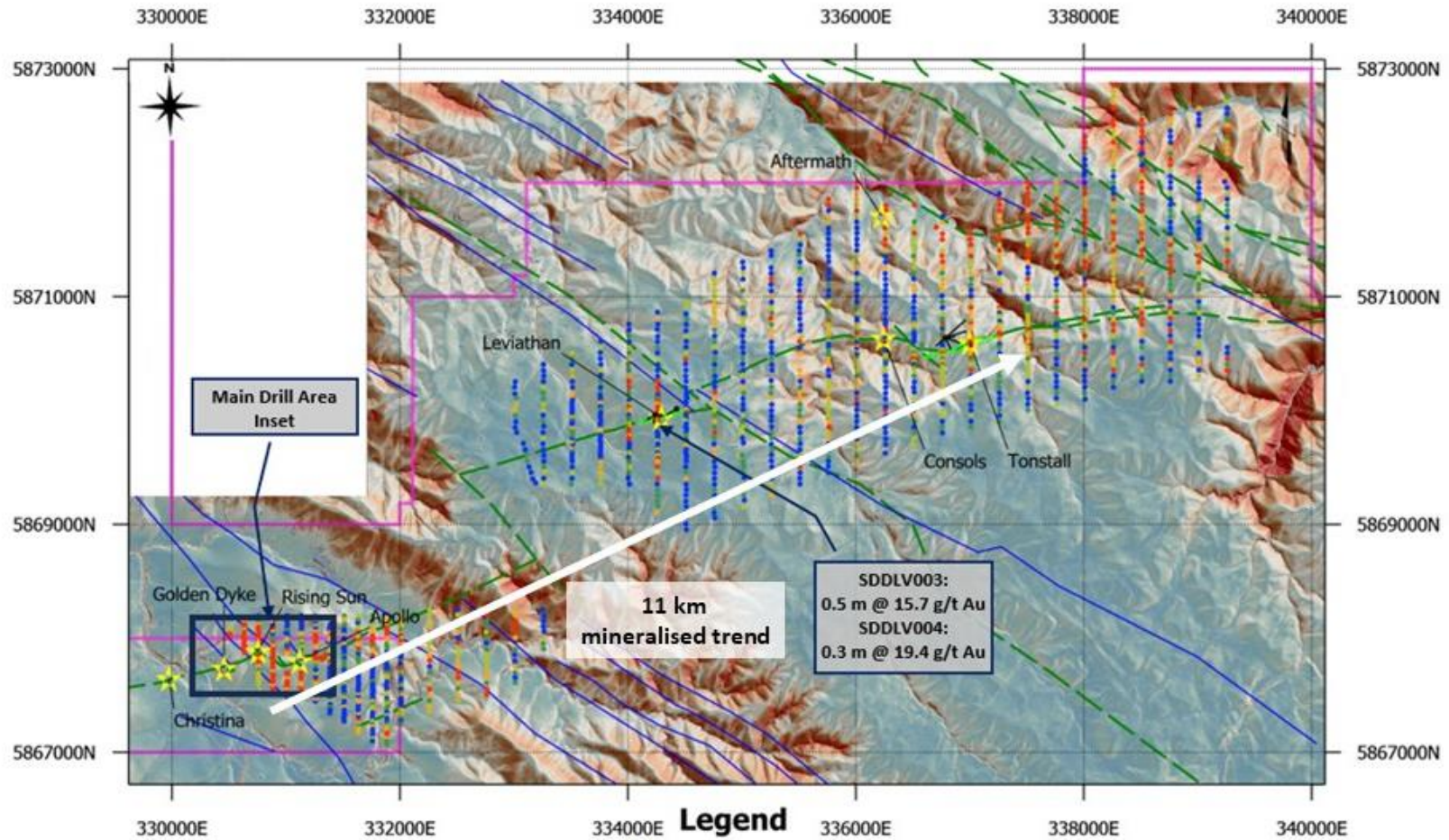


Abbildung 6: Regionale Draufsicht auf Sunday Creek mit LiDAR, Bodenproben, strukturellem Rahmen, regionalen historischen epizonalen Goldabbaugebieten und breiten regionalen Gebieten (Tonstal, Consols und Leviathan), die durch 12 Bohrlöcher im Rahmen des 2.383 m langen Bohrprogramms erprobt wurden. Die regionalen Bohrgebiete befinden sich bei Tonstal, Consols und Leviathan, die 4.000-7.500 m entlang des Streichens vom Hauptbohrgebiet bei Golden Dyke-Apollo entfernt liegen.



- Au ppb - Soil**
- Soil Samples
 - ≤ 0.3 • ≤ 0.9
 - ≤ 0.4 • > 0.9
 - ≤ 0.6
- Legend**
- ★ Prospect
 - Mapped Folds
 - - - Mapped Faults
 - SXG Tenement Boundary
 - Drillhole
 - Dyke Surface Expression

0m 1000m

Abbildung 7: Standort des Projekts Sunday Creek, zusammen mit den anderen Projekten von SXG in Victoria und einer vereinfachten Geologie.

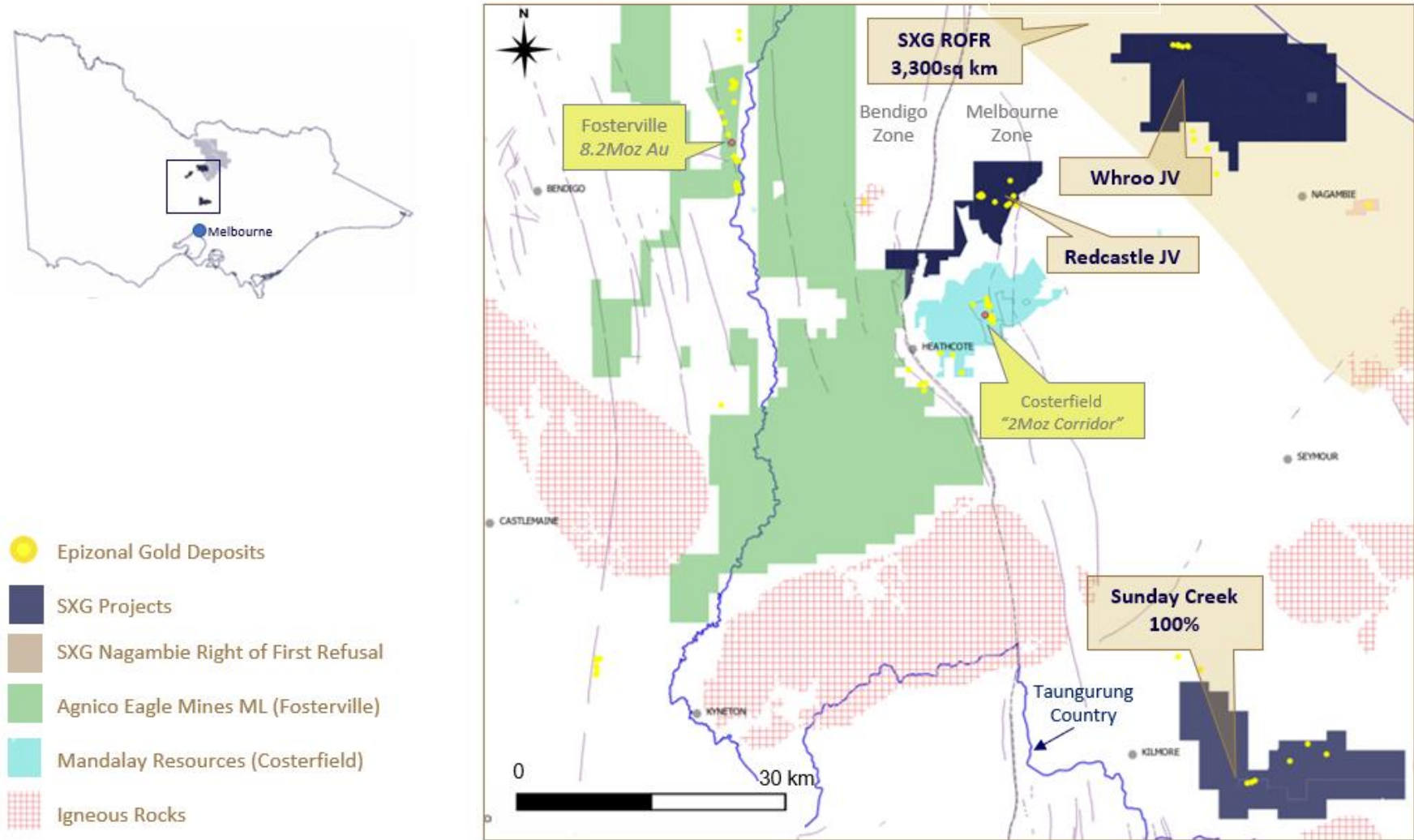


Tabelle 1: Zusammenfassende Tabelle der Bohrkragen für die jüngsten Bohrlöcher in Arbeit.

Bohrung_ID	Tiefe (m)	Aussicht	Osten GDA94_Z55	Norden GDA94_Z55	Erhebungen	Azimut	Eintauchen
SDDSC092	803.8	Aufgehende Sonne	330537	5867882	295.5	79.0	-60
SDDSC093	610.9	Aufgehende Sonne	331291	5867823	316.8	271	-47.5
SDDSC094	23.3	Aufgehende Sonne	330639	5867846	306.2	68.5	-56
SDDSC094A	359.6	Aufgehende Sonne	330639	5867846	306.1	68.5	-56
SDDSC095	368.3	Apollo	331291	5867823	316.8	271	-53
SDDSC096	347.9	Aufgehende Sonne	330639	5867846	306.1	68	-63.5
SDDSC097	62.3	Apollo	331291	5867823	316.8	276	-50.5
SDDSC097A	575	Apollo	331291	5867823	316.8	277	-50
SDDSC098	278.5	Aufgehende Sonne	330639	5867846	306.1	72	-48.5
SDDSC099	284.7	Aufgehende Sonne	330639	5867846	306.1	71.5	-58.5
SDDSC100	1042	Aufgehende Sonne	330482	5867891	289.5	74.5	-64
SDDSC101	181.5	Aufgehende Sonne	330639	5867846	306.1	63	-37
SDDSC102	596.8	Aufgehende Sonne	330537	5867883	295.5	75	-59
SDDSC103	260.6	Aufgehende Sonne	330639	5867847	306.1	53	-53
SDDSC104	595.2	Aufgehende Sonne	330639	5867847	306.1	64.5	-65.7
SDDSC105	353.6	Apollo	331291	5867823	316.8	275.3	-55.2
SDDSC106	653.5	Apollo	331291	5867823	316.8	279.5	-53
SDDSC107	815.9	Aufgehende Sonne	330537	5867883	295.5	77.5	-62
SDDSC108A	855.9	Apollo	331464	5867865	333	272.5	-50
SDDSC109	520.9	Apollo	331291	5867823	316.8	273.5	-44.5
SDDSC110	856.7	Aufgehende Sonne	330482	5867892	289.5	78	-66
SDDSC111	496.7	Apollo	331291	5867823	316.8	270	-38
SDDSC112	490.9	Apollo	331464	5867865	333	267	-42
SDDSC112W1	766.4	Apollo	331329	5867859	200	267	-42
SDDSC113	905.5	Aufgehende Sonne	330511	5867853	296.6	67.5	-63.5
SDDSC114	878.6	Aufgehende Sonne	330464	5867914	286.6	82	-58
SDDSC115	17.6	Aufgehende Sonne	330464	5867912	286.6	83	-58.5
SDDSC115A	923.6	Aufgehende Sonne	330464	5867912	286.7	83	-59
SDDSC116	In Arbeit befindlicher Plan 810 m	Aufgehende Sonne	331465	5867865	333.3	272.5	-41.5
SDDSC117	In Arbeit befindlicher Plan 1200 m	Aufgehende Sonne	330510	5867852	296.5	70.5	-64.5
SDDSC118	In Arbeit befindlicher Plan 1100 m	Aufgehende Sonne	330464	5867912	286.6	80	-64.5

Tabelle 2: Tabellen der mineralisierten Bohrlochabschnitte, die von SDDSC108A unter Anwendung von zwei Cutoff-Kriterien gemeldet wurden. Niedrigere Gehalte werden mit einem Cutoff-Gehalt von 1,0 g/t über maximal 2 m und höhere Gehalte mit einem Cutoff-Gehalt von 5,0 g/t AuEq über maximal 1 m geschnitten.

Loch-ID	Von (m)	Nach (m)	Länge (m)	Au g/t	Sb%	AuEq g/t
SDDSC107	335.60	338.03	2.4	0.6	0.4	1.2
SDDSC107	341.01	341.38	0.4	0.8	1.1	2.4
SDDSC107	343.80	344.65	0.8	2.6	0.8	3.8
einschließlich	343.80	344.33	0.5	3.3	1.1	5.1
SDDSC107	348.65	351.65	3.0	5.7	0.3	6.2
einschließlich	349.60	350.65	1.0	13.6	0.1	13.7
SDDSC107	353.85	354.37	0.5	0.7	0.5	1.5
SDDSC107	362.00	362.34	0.3	3.3	0.3	3.6
SDDSC107	365.46	366.30	0.8	1.1	0.0	1.2
SDDSC107	373.00	377.00	4.0	0.7	0.0	0.7
SDDSC107	380.00	381.00	1.0	6.6	0.0	6.6
SDDSC107	395.26	396.16	0.9	2.3	0.2	2.6
SDDSC107	398.57	399.95	1.4	0.9	0.2	1.2
SDDSC107	405.47	409.55	4.1	0.4	0.2	0.7
SDDSC107	413.88	414.18	0.3	2.0	0.0	2.1
SDDSC107	416.90	417.11	0.2	0.8	6.4	11.0
SDDSC107	424.97	425.93	1.0	14.7	10.5	31.3
SDDSC107	433.82	434.27	0.4	1.3	0.0	1.3
SDDSC107	438.62	439.07	0.4	1.6	0.1	1.7
SDDSC107	444.89	447.45	2.6	1.6	0.1	1.7
einschließlich	446.82	447.09	0.3	8.6	0.2	9.0
SDDSC107	491.61	494.50	2.9	17.5	3.1	22.4
einschließlich	492.23	494.50	2.3	21.8	3.5	27.3
SDDSC107	496.95	500.00	3.1	19.7	1.2	21.6
einschließlich	496.95	497.25	0.3	198.0	9.6	213.1
SDDSC107	526.17	526.68	0.5	4.5	1.5	6.9
SDDSC107	543.54	544.00	0.5	0.7	0.3	1.2
SDDSC107	546.75	561.75	15.0	9.3	3.7	15.2
einschließlich	549.34	553.76	4.4	19.0	9.1	33.4
einschließlich	557.50	559.22	1.7	25.1	6.7	35.7

einschließlich	560.32	560.75	0.4	5.2	1.0	6.8
SDDSC107	566.85	576.00	9.1	39.1	0.6	40.0
einschließlich	572.90	573.15	0.3	1400.0	1.3	1402.1
SDDSC107	580.48	583.00	2.5	1.0	0.2	1.3
SDDSC107	585.10	585.35	0.3	31.5	0.6	32.4
SDDSC107	588.28	590.09	1.8	16.4	1.9	19.5
einschließlich	588.28	589.65	1.4	21.2	2.4	25.1
SDDSC107	684.32	685.35	1.0	2318.4	0.3	2318.8
einschließlich	684.32	685.00	0.7	3511.0	0.4	3511.7
SDDSC107	695.00	695.52	0.5	5.6	0.9	7.0
SDDSC107	700.40	703.70	3.3	2.0	0.4	2.6
einschließlich	702.15	703.00	0.9	5.6	0.0	5.7
SDDSC107	708.40	708.70	0.3	2.3	0.0	2.4
SDDSC107	723.03	725.75	2.7	10.9	2.4	14.7
einschließlich	723.03	723.30	0.3	26.9	19.4	57.6
einschließlich	724.65	725.08	0.4	46.3	1.5	48.6
SDDSC107	728.78	731.55	2.8	1.6	0.2	1.9
einschließlich	731.00	731.55	0.5	7.0	0.1	7.1
SDDSC107	746.07	747.02	0.9	2.8	0.0	2.8
SDDSC107	752.81	753.12	0.3	0.3	0.5	1.1
SDDSC107	756.00	757.92	1.9	1.4	0.0	1.4
SDDSC107	769.92	772.20	2.3	2.4	0.1	2.6
einschließlich	771.96	772.20	0.2	5.8	0.0	5.9
SDDSC107	775.54	776.35	0.8	0.7	0.4	1.4
SDDSC107	782.70	790.30	7.6	13.3	0.2	13.5
einschließlich	782.70	783.00	0.3	18.2	0.0	18.2
einschließlich	784.42	786.80	2.4	38.4	0.3	39.0
SDDSC107	809.00	811.63	2.6	1.2	0.0	1.2

Tabelle 3: Alle hier gemeldeten Einzelergebnisse von SDDSC108A >0,1g/t AuEq.

Loch-ID	Von (m)	Nach (m)	Länge (m)	Au g/t	Sb%	AuEq g/t
SDDSC107	318.81	319.75	0.9	0.1	0.0	0.1
SDDSC107	319.75	320.40	0.7	0.1	0.0	0.1
SDDSC107	321.08	322.00	0.9	0.1	0.0	0.1
SDDSC107	322.93	324.02	1.1	0.1	0.0	0.1
SDDSC107	324.02	325.00	1.0	0.1	0.0	0.1
SDDSC107	326.00	326.63	0.6	0.1	0.3	0.6
SDDSC107	326.63	327.50	0.9	0.0	0.0	0.1
SDDSC107	327.50	328.50	1.0	0.1	0.0	0.1
SDDSC107	328.50	328.87	0.4	0.2	0.4	0.8
SDDSC107	328.87	329.82	1.0	0.1	0.1	0.2
SDDSC107	329.82	330.76	0.9	0.2	0.0	0.3
SDDSC107	334.00	335.00	1.0	0.0	0.0	0.1
SDDSC107	335.00	335.60	0.6	0.1	0.3	0.6
SDDSC107	335.60	335.83	0.2	0.5	2.2	4.0
SDDSC107	335.83	336.40	0.6	0.6	0.0	0.6
SDDSC107	336.40	336.82	0.4	1.2	0.6	2.1
SDDSC107	336.82	337.65	0.8	0.3	0.0	0.3
SDDSC107	337.65	338.03	0.4	0.7	0.4	1.3
SDDSC107	338.03	338.72	0.7	0.9	0.0	1.0
SDDSC107	338.72	339.40	0.7	0.7	0.0	0.7
SDDSC107	340.40	341.01	0.6	0.5	0.0	0.5
SDDSC107	341.01	341.38	0.4	0.8	1.1	2.4
SDDSC107	341.38	341.90	0.5	0.5	0.3	1.0
SDDSC107	342.78	343.49	0.7	0.2	0.0	0.3
SDDSC107	343.49	343.80	0.3	0.1	0.2	0.4
SDDSC107	343.80	344.33	0.5	3.3	1.1	5.1
SDDSC107	344.33	344.65	0.3	1.5	0.2	1.8
SDDSC107	344.65	345.80	1.2	0.2	0.1	0.3
SDDSC107	345.80	346.80	1.0	0.0	0.0	0.1
SDDSC107	346.80	347.24	0.4	0.2	0.1	0.3
SDDSC107	348.00	348.65	0.7	0.2	0.0	0.3

SDDSC107	348.65	349.04	0.4	1.6	0.9	3.0
SDDSC107	349.04	349.60	0.6	1.1	0.2	1.3
SDDSC107	349.60	350.20	0.6	18.1	0.1	18.3
SDDSC107	350.20	350.65	0.5	7.5	0.0	7.5
SDDSC107	350.65	351.00	0.4	4.3	0.0	4.3
SDDSC107	351.00	351.30	0.3	0.3	0.0	0.3
SDDSC107	351.30	351.65	0.4	0.6	0.7	1.8
SDDSC107	351.65	352.00	0.4	0.0	0.0	0.1
SDDSC107	352.00	353.00	1.0	0.2	0.0	0.2
SDDSC107	353.00	353.85	0.9	0.1	0.0	0.1
SDDSC107	353.85	354.37	0.5	0.7	0.5	1.5
SDDSC107	354.37	355.05	0.7	0.1	0.0	0.2
SDDSC107	355.05	355.90	0.9	0.2	0.0	0.2
SDDSC107	355.90	357.00	1.1	0.1	0.0	0.1
SDDSC107	357.00	358.00	1.0	0.0	0.0	0.1
SDDSC107	358.00	359.00	1.0	0.1	0.0	0.2
SDDSC107	359.00	360.00	1.0	0.1	0.1	0.2
SDDSC107	361.00	362.00	1.0	0.1	0.0	0.1
SDDSC107	362.00	362.34	0.3	3.3	0.3	3.6
SDDSC107	362.34	363.00	0.7	0.1	0.0	0.1
SDDSC107	363.00	364.00	1.0	0.2	0.0	0.3
SDDSC107	364.00	364.65	0.7	0.7	0.0	0.7
SDDSC107	364.65	365.46	0.8	0.3	0.1	0.5
SDDSC107	365.46	365.97	0.5	1.2	0.0	1.3
SDDSC107	365.97	366.30	0.3	1.0	0.0	1.1
SDDSC107	366.30	366.96	0.7	0.4	0.0	0.5
SDDSC107	366.96	368.00	1.0	0.9	0.0	0.9
SDDSC107	368.00	369.00	1.0	0.5	0.0	0.6
SDDSC107	369.00	370.00	1.0	0.3	0.0	0.3
SDDSC107	370.00	371.00	1.0	0.2	0.0	0.2
SDDSC107	371.00	372.00	1.0	0.2	0.0	0.2
SDDSC107	372.00	373.00	1.0	0.7	0.0	0.7
SDDSC107	373.00	374.00	1.0	1.0	0.0	1.0
SDDSC107	374.00	375.00	1.0	0.3	0.0	0.3
SDDSC107	375.00	376.00	1.0	0.3	0.0	0.3
SDDSC107	376.00	377.00	1.0	1.0	0.0	1.0
SDDSC107	377.00	378.00	1.0	0.5	0.0	0.5
SDDSC107	378.00	379.00	1.0	0.2	0.0	0.2
SDDSC107	379.00	380.00	1.0	0.3	0.0	0.3
SDDSC107	380.00	381.00	1.0	6.6	0.0	6.6
SDDSC107	382.00	383.00	1.0	0.1	0.0	0.1
SDDSC107	383.00	384.00	1.0	0.4	0.0	0.4
SDDSC107	385.00	386.00	1.0	0.1	0.0	0.1

SDDSC107	387.00	388.00	1.0	0.1	0.0	0.1
SDDSC107	394.60	395.26	0.7	0.2	0.0	0.2
SDDSC107	395.26	395.45	0.2	2.9	0.1	3.0
SDDSC107	395.45	395.83	0.4	1.6	0.4	2.2
SDDSC107	395.83	396.16	0.3	2.7	0.1	2.8
SDDSC107	396.80	397.07	0.3	0.5	0.0	0.5
SDDSC107	397.07	398.07	1.0	0.1	0.0	0.1
SDDSC107	398.07	398.27	0.2	0.3	0.0	0.3
SDDSC107	398.57	398.89	0.3	1.8	0.1	1.9
SDDSC107	399.52	399.95	0.4	1.7	0.4	2.4
SDDSC107	404.42	405.47	1.1	0.0	0.0	0.1
SDDSC107	405.47	405.98	0.5	0.9	0.2	1.2
SDDSC107	405.98	406.62	0.6	0.2	0.0	0.2
SDDSC107	406.62	407.10	0.5	0.5	0.2	0.9
SDDSC107	407.10	408.00	0.9	0.3	0.5	1.1
SDDSC107	408.59	409.15	0.6	0.0	0.0	0.1
SDDSC107	409.15	409.55	0.4	1.2	0.4	1.8
SDDSC107	409.55	409.81	0.3	0.1	0.0	0.1
SDDSC107	412.07	412.85	0.8	0.1	0.0	0.1
SDDSC107	412.85	413.12	0.3	0.1	0.0	0.1
SDDSC107	413.12	413.88	0.8	0.4	0.0	0.4
SDDSC107	413.88	414.18	0.3	2.0	0.0	2.1
SDDSC107	414.18	415.00	0.8	0.6	0.0	0.6
SDDSC107	416.90	417.11	0.2	0.8	6.4	11.0
SDDSC107	417.11	418.17	1.1	0.0	0.0	0.1
SDDSC107	418.17	419.28	1.1	0.2	0.0	0.2
SDDSC107	419.28	419.95	0.7	0.2	0.0	0.2
SDDSC107	419.95	420.20	0.3	0.8	0.0	0.8
SDDSC107	420.20	420.75	0.6	0.0	0.0	0.1
SDDSC107	420.75	421.70	1.0	0.1	0.0	0.1
SDDSC107	422.35	423.20	0.9	0.7	0.0	0.7
SDDSC107	423.20	423.97	0.8	0.1	0.3	0.5
SDDSC107	423.97	424.97	1.0	0.3	0.0	0.3
SDDSC107	424.97	425.35	0.4	28.0	25.9	68.9
SDDSC107	425.35	425.93	0.6	6.0	0.4	6.7
SDDSC107	425.93	426.78	0.9	0.2	0.0	0.3
SDDSC107	426.78	427.10	0.3	0.6	0.0	0.6
SDDSC107	427.10	428.27	1.2	0.1	0.0	0.1
SDDSC107	431.06	431.52	0.5	0.2	0.0	0.2
SDDSC107	432.18	432.92	0.7	0.1	0.0	0.1
SDDSC107	432.92	433.34	0.4	0.4	0.0	0.5
SDDSC107	433.82	434.27	0.5	1.3	0.0	1.3
SDDSC107	434.27	435.31	1.0	0.7	0.0	0.7

SDDSC107	436.10	437.00	0.9	0.2	0.0	0.2
SDDSC107	437.00	437.39	0.4	0.3	0.0	0.3
SDDSC107	437.39	437.84	0.5	0.1	0.0	0.1
SDDSC107	438.62	439.07	0.5	1.6	0.1	1.7
SDDSC107	439.75	440.64	0.9	0.4	0.0	0.4
SDDSC107	442.37	443.12	0.8	0.3	0.3	0.8
SDDSC107	443.12	443.57	0.5	0.6	0.1	0.7
SDDSC107	443.57	443.81	0.2	0.9	0.0	1.0
SDDSC107	443.81	444.32	0.5	0.1	0.0	0.1
SDDSC107	444.32	444.89	0.6	0.1	0.0	0.1
SDDSC107	444.89	445.23	0.3	2.7	0.3	3.2
SDDSC107	446.82	447.09	0.3	8.6	0.2	9.0
SDDSC107	447.09	447.45	0.4	2.0	0.0	2.1
SDDSC107	447.45	447.69	0.2	0.6	0.0	0.6
SDDSC107	447.69	448.16	0.5	0.6	0.1	0.7
SDDSC107	448.16	448.60	0.4	0.1	0.0	0.1
SDDSC107	450.00	450.16	0.2	0.9	0.0	0.9
SDDSC107	450.80	451.19	0.4	0.2	0.0	0.2
SDDSC107	451.19	451.37	0.2	0.6	0.0	0.6
SDDSC107	451.37	451.86	0.5	0.4	0.0	0.4
SDDSC107	452.55	453.38	0.8	0.0	0.0	0.1
SDDSC107	456.96	457.55	0.6	0.2	0.3	0.6
SDDSC107	457.55	457.76	0.2	0.4	0.1	0.6
SDDSC107	460.41	460.70	0.3	0.1	0.0	0.1
SDDSC107	462.07	463.04	1.0	0.1	0.0	0.1
SDDSC107	465.80	466.40	0.6	0.8	0.0	0.8
SDDSC107	466.40	467.00	0.6	0.1	0.0	0.1
SDDSC107	467.00	468.00	1.0	0.2	0.0	0.2
SDDSC107	471.00	472.00	1.0	0.0	0.0	0.1
SDDSC107	473.00	474.00	1.0	0.0	0.0	0.1
SDDSC107	474.00	475.00	1.0	0.1	0.0	0.1
SDDSC107	476.00	477.00	1.0	0.3	0.0	0.3
SDDSC107	478.00	479.25	1.3	0.5	0.0	0.6
SDDSC107	480.17	480.81	0.6	0.1	0.0	0.1
SDDSC107	480.81	482.00	1.2	0.1	0.0	0.1
SDDSC107	482.00	482.92	0.9	0.1	0.0	0.2
SDDSC107	482.92	484.00	1.1	0.4	0.0	0.4
SDDSC107	484.97	486.00	1.0	0.2	0.0	0.2
SDDSC107	487.00	488.00	1.0	0.2	0.0	0.3
SDDSC107	488.00	489.00	1.0	0.7	0.0	0.8
SDDSC107	489.00	490.00	1.0	0.1	0.2	0.5
SDDSC107	490.00	491.00	1.0	0.2	0.0	0.2
SDDSC107	491.00	491.61	0.6	0.3	0.0	0.3

SDDSC107	491.61	492.23	0.6	2.1	1.3	4.2
SDDSC107	492.23	492.60	0.4	96.0	15.1	119.9
SDDSC107	492.60	493.02	0.4	16.5	4.1	23.0
SDDSC107	493.02	493.84	0.8	5.2	0.3	5.7
SDDSC107	493.84	494.50	0.7	4.0	0.8	5.2
SDDSC107	494.50	495.75	1.3	0.0	0.0	0.1
SDDSC107	495.75	496.95	1.2	0.1	0.0	0.1
SDDSC107	496.95	497.25	0.3	198.0	9.6	213.1
SDDSC107	498.00	499.00	1.0	0.1	0.0	0.1
SDDSC107	499.00	500.00	1.0	0.5	0.8	1.9
SDDSC107	500.00	501.16	1.2	0.2	0.4	0.8
SDDSC107	501.16	502.00	0.8	0.0	0.1	0.1
SDDSC107	508.50	509.00	0.5	0.0	0.0	0.1
SDDSC107	526.17	526.68	0.5	4.5	1.5	6.9
SDDSC107	531.75	532.47	0.7	0.0	0.2	0.4
SDDSC107	533.71	534.33	0.6	0.4	0.1	0.5
SDDSC107	534.33	535.40	1.1	0.2	0.1	0.3
SDDSC107	535.40	536.60	1.2	0.1	0.0	0.1
SDDSC107	541.63	542.68	1.1	0.1	0.0	0.1
SDDSC107	542.68	543.54	0.9	0.2	0.1	0.3
SDDSC107	543.54	544.00	0.5	0.7	0.3	1.2
SDDSC107	544.00	544.30	0.3	0.1	0.0	0.2
SDDSC107	545.75	546.10	0.4	0.1	0.0	0.2
SDDSC107	546.10	546.75	0.7	0.0	0.0	0.1
SDDSC107	546.75	547.05	0.3	0.6	0.5	1.4
SDDSC107	547.05	548.06	1.0	2.8	0.6	3.8
SDDSC107	548.06	548.45	0.4	0.2	0.3	0.7
SDDSC107	548.45	548.75	0.3	0.2	0.0	0.3
SDDSC107	548.75	549.34	0.6	0.1	0.1	0.2
SDDSC107	549.34	549.87	0.5	14.8	15.7	39.6
SDDSC107	549.87	550.25	0.4	2.0	4.6	9.2
SDDSC107	550.25	550.76	0.5	68.3	21.7	102.6
SDDSC107	550.76	551.06	0.3	3.4	5.6	12.2
SDDSC107	551.06	551.43	0.4	3.5	4.6	10.8
SDDSC107	551.43	551.73	0.3	2.9	14.3	25.5
SDDSC107	551.73	552.03	0.3	8.3	3.1	13.1
SDDSC107	552.03	552.73	0.7	39.6	11.3	57.5
SDDSC107	552.73	553.76	1.0	7.0	2.7	11.2
SDDSC107	553.76	554.62	0.9	1.2	0.5	1.9
SDDSC107	554.62	555.30	0.7	1.2	0.0	1.3
SDDSC107	555.30	555.79	0.5	0.9	0.0	1.0
SDDSC107	555.79	556.00	0.2	1.8	0.5	2.6
SDDSC107	556.00	556.95	1.0	1.0	0.3	1.4

SDDSC107	556.95	557.50	0.6	0.7	0.4	1.4
SDDSC107	557.50	557.90	0.4	3.9	4.0	10.2
SDDSC107	557.90	558.29	0.4	7.2	3.6	12.8
SDDSC107	558.29	558.64	0.4	20.4	5.3	28.8
SDDSC107	558.64	559.22	0.6	54.7	11.6	73.0
SDDSC107	559.22	559.86	0.6	3.2	0.4	3.9
SDDSC107	559.86	560.32	0.5	1.1	0.6	2.0
SDDSC107	560.32	560.75	0.4	5.2	1.0	6.8
SDDSC107	560.75	561.75	1.0	0.9	0.6	1.8
SDDSC107	561.75	562.90	1.2	0.1	0.0	0.2
SDDSC107	565.40	566.55	1.2	0.0	0.0	0.1
SDDSC107	566.55	566.85	0.3	0.6	0.1	0.7
SDDSC107	566.85	567.44	0.6	0.8	0.4	1.5
SDDSC107	568.94	569.30	0.4	0.6	0.3	1.0
SDDSC107	569.30	569.92	0.6	2.9	0.7	4.0
SDDSC107	569.92	570.22	0.3	1.3	0.4	1.9
SDDSC107	570.22	570.75	0.5	1.5	0.4	2.2
SDDSC107	570.75	571.38	0.6	0.3	0.2	0.6
SDDSC107	571.38	572.00	0.6	1.4	1.4	3.6
SDDSC107	572.00	572.90	0.9	0.6	0.6	1.4
SDDSC107	572.90	573.15	0.3	1400.0	1.3	1402.1
SDDSC107	573.15	573.73	0.6	0.9	0.8	2.1
SDDSC107	573.73	574.25	0.5	1.7	1.7	4.3
SDDSC107	574.25	574.65	0.4	0.7	0.6	1.7
SDDSC107	574.65	575.55	0.9	1.0	0.7	2.1
SDDSC107	575.55	576.00	0.5	0.4	0.4	1.1
SDDSC107	576.00	577.00	1.0	0.2	0.1	0.4
SDDSC107	577.00	577.30	0.3	0.1	0.0	0.2
SDDSC107	578.80	579.11	0.3	0.2	0.3	0.6
SDDSC107	580.48	580.90	0.4	1.3	0.3	1.8
SDDSC107	580.90	581.85	1.0	0.0	0.0	0.1
SDDSC107	581.85	582.15	0.3	1.3	0.9	2.6
SDDSC107	582.15	583.00	0.9	1.9	0.1	2.0
SDDSC107	583.60	584.25	0.7	0.0	0.2	0.3
SDDSC107	585.10	585.35	0.3	31.5	0.6	32.4
SDDSC107	585.85	586.45	0.6	0.2	0.1	0.3
SDDSC107	586.45	586.90	0.5	0.0	0.0	0.1
SDDSC107	586.90	587.67	0.8	0.2	0.2	0.5
SDDSC107	587.67	588.28	0.6	0.0	0.0	0.1
SDDSC107	588.28	588.70	0.4	39.1	5.3	47.5
SDDSC107	588.70	589.48	0.8	0.8	0.4	1.5
SDDSC107	589.48	589.65	0.2	71.0	4.4	77.9
SDDSC107	589.65	590.09	0.4	1.4	0.4	2.0

SDDSC107	590.09	590.56	0.5	0.1	0.1	0.2
SDDSC107	602.61	602.95	0.3	0.1	0.0	0.1
SDDSC107	608.00	608.94	0.9	0.1	0.0	0.1
SDDSC107	625.54	625.93	0.4	0.1	0.0	0.1
SDDSC107	625.93	626.59	0.7	0.7	0.1	0.8
SDDSC107	648.30	649.49	1.2	0.1	0.0	0.1
SDDSC107	683.00	684.32	1.3	0.1	0.0	0.1
SDDSC107	684.32	684.70	0.4	496.0	0.5	496.7
SDDSC107	684.70	685.00	0.3	7330.0	0.4	7330.6
SDDSC107	685.00	685.35	0.4	1.3	0.0	1.3
SDDSC107	685.35	686.00	0.7	0.1	0.0	0.2
SDDSC107	686.00	687.00	1.0	0.3	0.3	0.8
SDDSC107	690.00	691.00	1.0	0.4	0.1	0.6
SDDSC107	691.00	692.00	1.0	0.5	0.0	0.6
SDDSC107	692.00	692.70	0.7	0.8	0.0	0.8
SDDSC107	692.70	693.70	1.0	0.2	0.0	0.2
SDDSC107	695.00	695.52	0.5	5.6	0.9	7.0
SDDSC107	695.52	696.00	0.5	0.3	0.0	0.3
SDDSC107	696.00	696.65	0.7	0.2	0.1	0.3
SDDSC107	700.40	701.00	0.6	1.4	0.2	1.7
SDDSC107	701.00	702.15	1.2	0.1	0.0	0.1
SDDSC107	702.15	703.00	0.9	5.6	0.0	5.7
SDDSC107	703.00	703.70	0.7	1.2	1.6	3.7
SDDSC107	703.70	705.00	1.3	0.1	0.1	0.2
SDDSC107	705.00	706.02	1.0	0.1	0.0	0.1
SDDSC107	706.60	707.27	0.7	0.1	0.0	0.2
SDDSC107	707.27	708.40	1.1	0.7	0.0	0.7
SDDSC107	708.40	708.70	0.3	2.3	0.0	2.4
SDDSC107	722.73	723.03	0.3	0.0	0.1	0.1
SDDSC107	723.03	723.30	0.3	26.9	19.4	57.6
SDDSC107	723.30	724.11	0.8	1.2	0.6	2.2
SDDSC107	724.65	725.08	0.4	46.3	1.5	48.6
SDDSC107	725.08	725.75	0.7	2.3	0.1	2.4
SDDSC107	725.75	726.32	0.6	0.4	0.1	0.6
SDDSC107	727.10	727.77	0.7	0.4	0.0	0.5
SDDSC107	727.77	728.78	1.0	0.1	0.1	0.3
SDDSC107	728.78	729.33	0.6	0.3	0.5	1.1
SDDSC107	729.33	729.75	0.4	0.4	0.3	0.9
SDDSC107	729.75	730.40	0.7	0.2	0.1	0.2
SDDSC107	730.40	731.00	0.6	0.1	0.1	0.3
SDDSC107	731.00	731.55	0.6	7.0	0.1	7.1
SDDSC107	731.55	731.94	0.4	0.4	0.0	0.4
SDDSC107	731.94	732.33	0.4	0.1	0.0	0.1

SDDSC107	733.33	734.31	1.0	0.1	0.0	0.1
SDDSC107	734.31	735.19	0.9	0.0	0.0	0.1
SDDSC107	735.19	736.00	0.8	0.1	0.0	0.1
SDDSC107	736.00	736.95	1.0	0.1	0.0	0.1
SDDSC107	736.95	737.85	0.9	0.1	0.0	0.1
SDDSC107	737.85	738.87	1.0	0.1	0.0	0.1
SDDSC107	738.87	739.60	0.7	0.6	0.0	0.6
SDDSC107	739.60	740.05	0.5	0.5	0.0	0.5
SDDSC107	740.66	741.00	0.3	0.4	0.0	0.4
SDDSC107	741.00	741.54	0.5	0.6	0.0	0.6
SDDSC107	741.54	742.27	0.7	0.7	0.0	0.7
SDDSC107	744.00	744.77	0.8	0.2	0.0	0.2
SDDSC107	744.77	745.13	0.4	0.2	0.0	0.2
SDDSC107	745.13	746.07	0.9	0.0	0.0	0.1
SDDSC107	746.07	746.70	0.6	3.2	0.0	3.2
SDDSC107	746.70	747.02	0.3	2.1	0.0	2.2
SDDSC107	751.72	752.45	0.7	0.1	0.0	0.1
SDDSC107	752.81	753.12	0.3	0.3	0.5	1.1
SDDSC107	755.10	755.33	0.2	0.2	0.0	0.2
SDDSC107	755.33	756.00	0.7	0.1	0.0	0.1
SDDSC107	756.00	757.00	1.0	1.0	0.0	1.0
SDDSC107	757.00	757.42	0.4	2.0	0.0	2.0
SDDSC107	757.42	757.73	0.3	1.8	0.0	1.8
SDDSC107	757.73	757.92	0.2	1.2	0.0	1.2
SDDSC107	757.92	758.24	0.3	0.3	0.0	0.4
SDDSC107	758.24	759.20	1.0	0.1	0.0	0.1
SDDSC107	759.20	760.00	0.8	0.3	0.0	0.3
SDDSC107	760.00	760.63	0.6	0.1	0.0	0.1
SDDSC107	760.63	760.90	0.3	0.4	0.0	0.4
SDDSC107	760.90	761.30	0.4	0.2	0.0	0.2
SDDSC107	762.70	763.15	0.5	0.2	0.0	0.2
SDDSC107	763.15	763.81	0.7	0.1	0.0	0.2
SDDSC107	764.23	764.94	0.7	0.0	0.0	0.1
SDDSC107	764.94	765.31	0.4	0.0	0.0	0.1
SDDSC107	765.31	766.08	0.8	0.5	0.0	0.5
SDDSC107	766.08	766.55	0.5	0.1	0.0	0.1
SDDSC107	766.55	767.38	0.8	0.1	0.0	0.1
SDDSC107	768.04	768.24	0.2	0.2	0.1	0.4
SDDSC107	768.24	769.08	0.8	0.1	0.0	0.2
SDDSC107	769.08	769.92	0.8	0.2	0.1	0.3
SDDSC107	769.92	770.79	0.9	3.8	0.2	4.1
SDDSC107	770.79	771.56	0.8	0.7	0.1	0.9
SDDSC107	771.56	771.96	0.4	0.6	0.1	0.8

SDDSC107	771.96	772.20	0.2	5.8	0.0	5.9
SDDSC107	772.20	772.62	0.4	0.4	0.2	0.7
SDDSC107	772.62	773.40	0.8	0.8	0.0	0.8
SDDSC107	773.40	774.26	0.9	0.1	0.0	0.1
SDDSC107	774.26	774.98	0.7	0.1	0.0	0.1
SDDSC107	774.98	775.54	0.6	0.6	0.2	0.8
SDDSC107	775.54	775.83	0.3	0.7	0.6	1.7
SDDSC107	775.83	776.35	0.5	0.8	0.3	1.2
SDDSC107	777.00	778.00	1.0	0.2	0.0	0.2
SDDSC107	780.00	780.67	0.7	0.1	0.0	0.1
SDDSC107	780.67	781.60	0.9	0.5	0.0	0.5
SDDSC107	781.60	782.14	0.5	0.1	0.0	0.2
SDDSC107	782.14	782.70	0.6	0.9	0.0	0.9
SDDSC107	782.70	783.00	0.3	18.2	0.0	18.2
SDDSC107	783.00	783.89	0.9	0.2	0.0	0.3
SDDSC107	783.89	784.42	0.5	0.8	0.0	0.8
SDDSC107	784.42	784.70	0.3	19.4	0.0	19.5
SDDSC107	784.70	784.96	0.3	0.5	0.2	0.8
SDDSC107	784.96	785.41	0.5	0.6	0.2	1.0
SDDSC107	785.41	785.67	0.3	0.7	0.3	1.1
SDDSC107	785.67	786.12	0.5	65.4	0.6	66.3
SDDSC107	786.12	786.44	0.3	2.9	0.6	3.9
SDDSC107	786.44	786.80	0.4	153.0	0.3	153.5
SDDSC107	786.80	787.19	0.4	1.9	0.0	2.0
SDDSC107	787.19	787.60	0.4	0.2	0.0	0.2
SDDSC107	787.60	787.94	0.3	0.2	0.0	0.3
SDDSC107	787.94	788.14	0.2	0.8	0.6	1.8
SDDSC107	788.14	788.70	0.6	1.2	0.3	1.6
SDDSC107	788.70	789.48	0.8	0.9	0.1	1.0
SDDSC107	789.48	790.30	0.8	1.2	0.1	1.3
SDDSC107	790.30	791.12	0.8	0.3	0.0	0.3
SDDSC107	791.12	791.55	0.4	0.4	0.0	0.4
SDDSC107	799.67	799.95	0.3	0.1	0.0	0.1
SDDSC107	799.95	800.36	0.4	0.1	0.0	0.1
SDDSC107	800.36	800.62	0.3	0.0	0.0	0.1
SDDSC107	807.00	808.00	1.0	0.1	0.0	0.1
SDDSC107	809.00	810.00	1.0	1.8	0.0	1.8
SDDSC107	810.00	811.00	1.0	0.7	0.0	0.7
SDDSC107	811.00	811.63	0.6	1.0	0.0	1.0
SDDSC107	811.63	812.18	0.6	0.4	0.0	0.4
SDDSC107	812.18	813.00	0.8	0.1	0.0	0.1